

Самопроективные или W —кривые.

(Интегральные кривые уравнения Jacobi).

Н. Душин.

1. Определение $W-C$.

Рассматриваемые кривые

A^0 . с одной стороны являются *инвариантными кривыми при коллинеарных преобразованиях*, допускающих одночленную группу (преобразований) и аналитически определяемых уравнениями:

$$\varrho y_i = a_{i1}x_1 + a_{i2}x_2 + a_{i3}x_3 \quad (i=1, 2, 3) \dots \dots \dots \quad (1)$$

Различным типам этих преобразований соответствуют и различные типы инвариантных кривых.

[S. Lie и F. Klein: „Sur une certaine famille de courbes et de surfaces“ Comptes rendus T. 70. 1870 p. 1222—1226, 1275—1279.

S. Lie и F. Klein: „Ueber diejenigen ebenen Curven, welche durch eingeschlossenen system von einfach unendlich vielen vertauschbaren linearen Transformationen in sich übergehen“ Mathem. Annalen B. IV. 1871 г.].

B^0 . С другой стороны $W-C$ являются *интегральными кривыми уравнения Jacobi*.

$$Ldx + Mdy + N(xdy - ydx) = o, \dots \dots \dots \quad (2)$$

где L , M и N —однородные многочлены 1 степени относ. x и y .

[Jacobi „De integratione aequationis differentialis

$$(A + A'x + A''y)(xdy - ydx) - (B + B'x + B''y)dy + \\ + (C + C'x + C''y)dx = o, \text{ „Crelle Journal B. 24. 1842.“}$$

2⁰. Основные типы коллинеарного преобразования плоскости.

При определении инвариантных элементов коллинеарного преобразования, как известно, приходим к характеристическому ур-нию

$$\Delta(\varrho) = \begin{vmatrix} a_{11} - \varrho & a_{21} & a_{31} \\ a_{12} & a_{22} - \varrho & a_{32} \\ a_{13} & a_{23} & a_{33} - \varrho \end{vmatrix} = o \dots \dots \quad (3)$$

третьей степени относительно ϱ .

Отсюда имеем следующие основные типы коллинеарных преобразований плоскости.

I. Первый—когда все корни ϱ_i ($i = 1, 2, 3$) вещественны и различны. Инвариантной фигуруй в этом случае является треугольник вещественный во всех своих частях (фиг. 1) и

каноническими ур-ми коллинеации будут ур-ия вида

$$\varrho y_i = \varrho_i x_i. (i = 1, 2, 3). . . (4)$$

I⁰. Частный случай—случай двух мнимых сопряженных корней

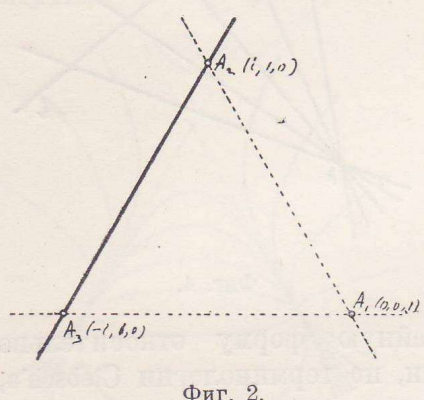
$$(\varrho_2 \text{ и } \varrho_3)$$

Инвариантная фигура здесь будет определяться вещественной точкой A_1 , вещественной прямой вне ее и двумя мнимыми прямыми (фиг. 2).

Канонические ур-ия преобразования:

$$\left. \begin{array}{l} \varrho y_1 = mx_1 - nx_2 \\ \varrho y_2 = nx_1 + mx_2 \\ \varrho y_3 = kx_3 \end{array} \right\} \dots \dots \dots (5)$$

II. Второй случай—случай двойного корня. [$\varrho_1 \neq \varrho_2 = \varrho_3$], при условии, что не все миноры $\Delta_{ik} = 0$ [Δ_{ik} —миноры второго порядка относит. a_{ik}].



Фиг. 2.

Инвариантная фигура состоит из двух пересекающихся инвариантных прямых, из коих прямая, соединяющая двойную инвариантную точку с простой, есть двойная прямая (фиг. 3).

Канонические ур-ия коллинеации этого типа будут

$$\left. \begin{array}{l} \varrho y_1 = \varrho_1 x_1 \\ \varrho y_2 = \varrho_2 x_2 \\ \varrho y_3 = \varrho_2 x_3 + \beta x_2, \text{ где } \beta \neq 0 \end{array} \right\} \dots \dots \dots (6)$$

III. Случай, когда имеем двойной корень [$\varrho_1 \neq \varrho_2 = \varrho_3$] и все миноры $\Delta_{ik} = 0$.

Инвариантная фигура состоит из ∞^1 инвариантных точек, лежащих на одной прямой l и ∞^1 инвариантных прямых, проходящих через одну точку A , причем точка A вне прямой l —случай перспективной коллинеации (фиг. 4).

Ее канонические ур-ия

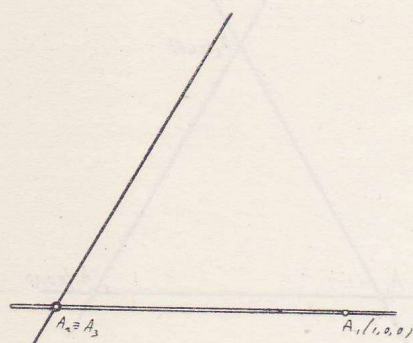
$$\left. \begin{array}{l} Qy_1 = q_1x_1 \\ Qy_2 = q_2x_2 \\ Qy_3 = q_3x_3 \end{array} \right\} \dots \dots \dots \dots \quad (7)$$

IV. Случай, когда ур-ие $\Delta(Q) = 0$ имеет тройной корень [$q_1 = q_2 = q_3$], но не все миноры $\Delta_{ik} = 0$.

Инвариантная фигура состоит из тройной точки, лежащей на тройной прямой (фиг. 5)

и каноническая форма коллинеации определяется ур-ем:

$$\left. \begin{array}{l} Qy_1 = q_1x_1 \\ Qy_2 = ax_1 + q_1x_2 \\ Qy_3 = ax_2 + q_1x_3, \text{ где } a \neq 0 \end{array} \right\} \dots \dots \dots \dots \quad (8)$$



Фиг. 3.

V. Наконец, последний случай, когда $Q_1 = Q_2 = Q_3$ и все $\Delta_{ik} = 0$.

Инвариантная фигура состоит из ∞^1 инвариантных точек, лежащих на одной прямой l и ∞' инвариантных прямых, проходящих через одну точку A , причем точка A лежит на прямой l — случай элации (фиг. 6).

Ее канонические ур-ия

$$\left. \begin{array}{l} Qy_1 = q_1x_1 \\ Qy_2 = q_1x_2 + ax_1 \\ Qy_3 = q_1x_3 \end{array} \right\}, \text{ где } a \neq 0 \quad (9)$$

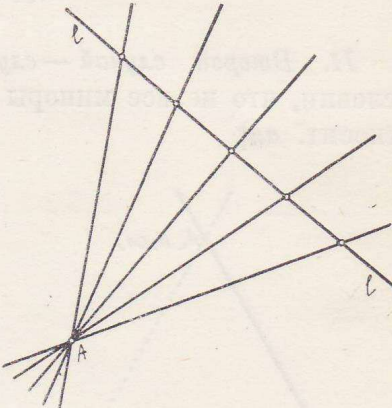
3°. Связь коллинеации с коннексами и ур-ия Jacobi с коллинеацией.

Применяя общее коллинеарное преобразование

$$Qy_i = a_{i1}x_1 + a_{i2}x_2 + a_{i3}x_3 \quad (i=1, 2, 3). \quad (1)$$

к ур-ию $\sum u_i y_i = 0$, где $i = 1, 2, 3$ и y_i точка прямой u_i , получим ур-ие

$$f(ux) \equiv \sum \sum a_{ik} u_i x_k = 0 \quad (10),$$



Фиг. 4.

определенное самую общую билинейную форму относительно контрагredientных переменных u и x , или, по терминологии Clebsch'a, коннекс первого порядка и первого класса, короче коннекс (1, 1).

[A. Clebsch. Leçons sur la géométrie p. 351, 1883].

Выделим между билинейными коннексами главный коннекс

$$\sum u_i x_i = 0 \quad (i=1, 2, 3) \quad \dots \dots \dots \quad (11)$$

Фиг. 5.

и рассмотрим совокупность элементов, общих коннексам (10) и (11), так называемую главную коинциденцию коннекса.

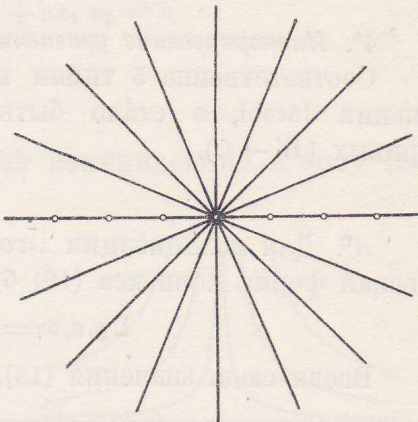
При постоянном значении x_i , уравнение (10) представляет кривую огибающую прямыми u_i , из числа их в силу условия (11) выделяются касательные, проходящие через точки x_i .

Соответственно, при постоянном значении u_i , уравнение (10) определяет кривую, образуемую точками x_i , из последних условием (11) выделяются точки пересечения с прямой u_i .

Меняя непрерывно x_i во втором случае (resp. u_i в первом), мы получаем всю кривую.

Для определения уравнения кривых, образуемых таким способом, имеем в силу (11) следующую систему:

$$\left. \begin{array}{l} \sum u_i X_i = 0 \\ \sum u_i x_i = 0 \\ \sum u_i (x_i + dx_i) = 0 \end{array} \right\} \quad (i = 1, 2, 3) \quad (12)$$



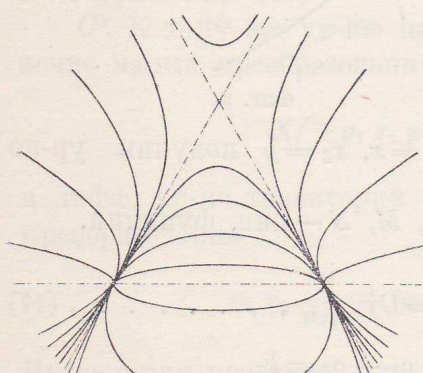
Фиг. 6.

где x_i — точка инцидентная с прямой u_i , $x_i + dx_i$ — точка, соседняя с x_i и X_i — любая точка прямой u_i .

Для совместности этой системы имеем условие

$$\begin{vmatrix} X_1 & X_2 & X_3 \\ x_1 & x_2 & x_3 \\ x_1 + dx_1 & x_2 + dx_2 & x_3 + dx_3 \end{vmatrix} = 0 \text{ или } \begin{vmatrix} X_1 & X_2 & X_3 \\ x_1 & x_2 & x_3 \\ dx_1 & dx_2 & dx_3 \end{vmatrix} = 0$$

Разлагая последний определитель по элементам первой строки, получим



Фиг. 7.

$$X_1 (xdx)_{23} + X_2 (xdx)_{31} + X_3 (xdx)_{12} = 0,$$

где

$$(xdx)_{23} = x_2 dx_3 - x_3 dx_2$$

и т. д.

Сравнивая с первым ур-ем системы (12), находим, что координаты u_i удовлетворяют условиям:

$$\left. \begin{array}{l} \tau u_1 = (xdx)_{23} \\ \tau u_2 = (xdx)_{31} \\ \tau u_3 = (xdx)_{12} \end{array} \right\} \quad \dots \quad (13)$$

Введя эти значения в (10), получим

$$\begin{vmatrix} (a_{1k} x_k) & (a_{2k} x_k) & (a_{3k} x_k) \\ x_1 & x_2 & x_3 \\ dx_1 & dx_2 & dx_3 \end{vmatrix} = 0 \quad \dots \quad (14)$$

— дифференциальное уравнение искомых кривых.

Но последнее уравнение есть ур-ие Jacobi, приведенное к однородному виду.

Отсюда, связью уравнения Jacobi с коллинеарными преобразованиями можно воспользоваться для изучения свойств его интегральных кривых.

4⁰. Интегрирование уравнения Jacobi.

Соответственно 5 типам коллинеации получаем и 5 типов уравнения Jacobi, а стало быть и 5 типов семейств интегральных кривых ($W - C$).

I-й тип.

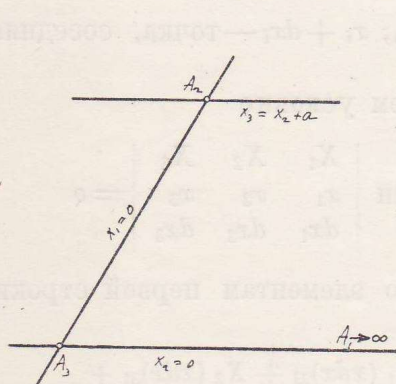
A^0 . Для коллинеации I-го типа, определяемой ур-ми (4), каноническая форма коннекса (10) будет вида

$$\sum \varrho_i u_i x_i = 0 \quad (i = 1, 2, 3) \dots \dots \dots \quad (15)$$

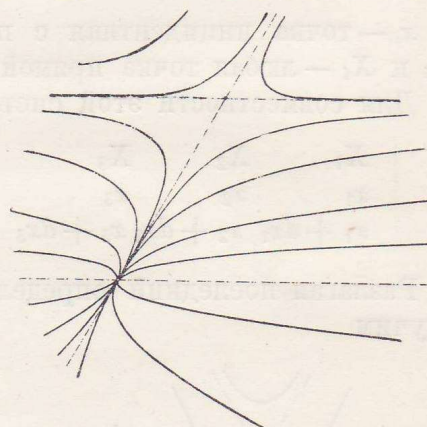
Введя сюда значения (13), получаем дифф. ур-ие.

$$\varrho_1 x_1 (xdx)_{23} + \varrho_2 x_2 (xdx)_{31} + \varrho_3 x_3 (xdx)_{12} = 0 \dots \dots \quad (16)$$

Последнее ур-ие есть упрощенное ур-ие Jacobi. Действительно



Фиг. 8.



Фиг. 9.

полагая $x_3 = 1$, $dx_3 = 0$ и заменяя $x_1 = x$, $x_2 = y$ получим ур-ие Jacobi вида

$L(xdx - ydx) - Mdy + Ndx = 0$, где L, M, N — лин. функции.

Интегрируя ур-ие (16), получим

$$x_1^{\rho_2 - \rho_3} x_2^{\rho_3 - \rho_1} x_3^{\rho_1 - \rho_2} = C \dots \dots \dots \quad (17)$$

или полагая

$$\varrho_2 - \varrho_3 = k_1, \varrho_3 - \varrho_1 = k_2, \varrho_1 - \varrho_2 = k_3,$$

имеем

$$x_1^{k_1} x_2^{k_2} x_3^{k_3} = C$$

где

$$k_1 + k_2 + k_3 = 0 \dots \dots \dots \quad (18)$$

— ур-ие искомых интегральных кривых (фиг. 7).

B^0 . Кривые (18) могут быть получены и непосредственно из ур-ий (4) коллинеарного преобразования после λ — кратного его повторения.

Дело в том, что последнее, будучи приложено к точке $P(x_i)$ плоскости, заставляет ее переместиться в некоторое новое положение $P_1(y_i')$. Повторяя это преобразование еще раз, мы заставим точку $P_1(y_i')$ занять положение точки $P_2(y_i'')$, и так далее.

При такой операции точка P описывает некоторую кривую.

После λ — кратного повторения, ур-ия (4) примут вид:

$$\varrho y_i = \varrho_i^{\lambda} x_i \quad (i = 1, 2, 3).$$

Исключая из этих ур-ий λ и ϱ , получим

$$\log \frac{\varrho_2}{\varrho_3} \log \frac{y_1}{x_1} + \log \frac{\varrho_3}{\varrho_1} \log \frac{y_2}{x_2} + \log \frac{\varrho_1}{\varrho_2} \log \frac{y_3}{x_3} = o \quad (19)$$

или полагая

$$\log \frac{\varrho_2}{\varrho_3} = r_1, \log \frac{\varrho_3}{\varrho_1} = r_2, \log \frac{\varrho_1}{\varrho_2} = r_3 \dots \quad (20)$$

будем иметь ур-ие искомых кривых в виде

$$y_1^{r_1} y_2^{r_2} y_3^{r_3} = x_1^{r_1} x_2^{r_2} x_3^{r_3} = C,$$

где в силу (20)

$$r_1 + r_2 + r_3 = o.$$

Фиг. 10.

Равенства (20) позволяют сделать вывод, что рассматриваемые кривые при коллинеарном преобразовании остаются инвариантными.

С⁰. Наконец к ур-ию (18) можно притти еще одним путем, а именно: из рассмотрения траекторий одночленной группы бесконечно малых преобразований.

Для данного Δ -ка коллинеации последнее имеет вид

$$Xf \equiv \sum \varrho_i x_i p_i \quad (i = 1, 2, 3)$$

Отсюда дифф. ур-ие искомых кривых будет

$$\sum \varrho_i x_i p_i = o$$

и соответствующая совокупная система

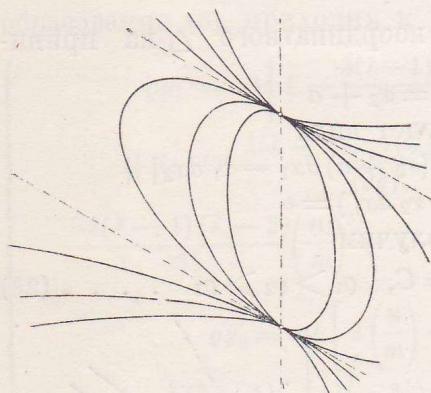
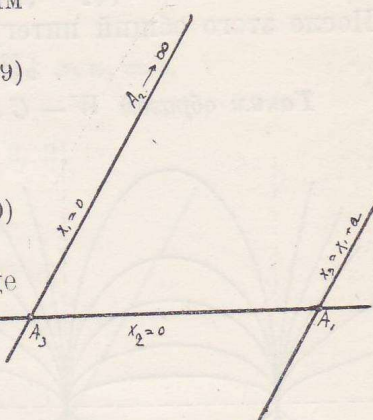
$$\frac{dx_i}{\varrho_i x_i} = dt \quad (i = 1, 2, 3)$$

Интегрирование последнего дает

$$x_i = C_i e^{\varrho_i t} \quad (i = 1, 2, 3) \dots \dots \dots \quad (21)$$

Исключая отсюда t , получим

$$x_1^{\alpha} x_2^{\beta} x_3^{\gamma} = C e^{(\varrho_1 + \varrho_2 + \varrho_3)t} \dots \dots \dots \quad (22)$$



Фиг. 11.

где α , β и γ показатели степеней, в которые мы возводим предварительно ур-ия (21).

Выражение (22) будет общим \int -лом, если

$$\alpha + \beta + \gamma = 0 \text{ и } \alpha\varrho_1 + \beta\varrho_2 + \gamma\varrho_3 = 0.$$

Первое условие необходимо для выполнения однородности, второе чтобы отсутствовало t .

Из этих условий следует, что

$$\alpha = k(\varrho_2 - \varrho_3), \beta = k(\varrho_3 - \varrho_1), \gamma = k(\varrho_1 - \varrho_2)$$

После этого общий интеграл (22) принимает вид

$$x_1^{\varrho_2 - \varrho_3} x_2^{\varrho_3 - \varrho_1} x_3^{\varrho_1 - \varrho_2} = C.$$

Таким образом $W-C$ могут быть рассматриваемы:

А°. как кривые главной коинциденции соответ. формы коннекса,

В°. как результат λ — кратного повторения коллинеарного преобразования.

С°. и как траектории соот. одночленной группы линейных преобразований по ее бесконечно малому преобразованию.

Рассмотрим еще следующие случаи расположения $W-C$ первого типа:

А°. Предположим, что вершина A_1 координатного Δ -ка удаляется в ∞ -сть

(фиг. 8).

В этом случае уравнения сторон координатного Δ -ка принимают вид

$$x_1 = 0, x_2 = 0 \text{ и } x_3 = x_2 + a$$

и соответствующее дифф. ур-ие (16) будет вида

$$\begin{aligned} q_1 x_1 [x_2 dx_2 - (x_2 + a) dx_1] + q_2 x_2 [(x_2 + a) dx_1 - x_1 dx_2] + \\ + q_3 (x_2 + a) (x_1 dx_2 - x_2 dx_1) = 0 \end{aligned}$$

Интегрируя последнее ур-ие мы получим

$$X_1^{\varrho_2 - \varrho_3} X_2^{\varrho_3 - \varrho_1} (X_2 + aX_3)^{\varrho_1 - \varrho_2} = C, \quad \varrho_1 > \varrho_2 > \varrho_3 \dots \quad (23)$$

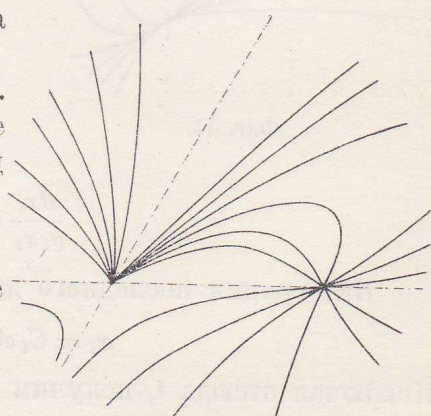
— ур-ие $W-C$ для данного Δ -ка (фиг. 9).

Б°. Предположим, что вершина A_2 удаляется в бесконечность. В этом случае координатный Δ -к принимает вид фиг. 10; уравнения его сторон:

$$x_1 = 0, x_2 = 0 \text{ и } x_3 = x_1 + a$$

Соответствующее диффер. ур-ие будет:

$$\begin{aligned} q_1 x_1 [x_2 dx_1 - (x_1 + a) dx_2] + \\ + q_2 x_2 [(x_1 + a) dx_1 - x_1 dx_2] \\ + q_3 (x_1 + a) [x_1 dx_2 - x_2 dx_1] = 0 \end{aligned}$$



Фиг. 12.

Фиг. 13.

или

$$[(\varrho_3 - \varrho_1)x_1 + a\varrho_3](x_1 dx_2 - x_2 dx_1) - a\varrho_1 x_1 dx_2 + a\varrho_2 x_2 dx_1 = 0$$

Отсюда получаем следующее уравнение $W - C$:

$$x_1^{\varrho_2-\varrho_3} x_2^{\varrho_3-\varrho_1} (x_1 + ax_3)^{\varrho_1-\varrho_2} = C. \quad [\varrho_1 > \varrho_2 > \varrho_3]. \dots (24)$$

Расположение кривых для этого случая имеем на фиг. 11 и 12.

Γ_0 .—Частный случай.

А°. Здесь коллинеация определяется ур-ми (5) и соответствующий коннекс (10) принимает вид

$$(mx_1 - nx_2)u_1 + (nx_1 + mx_2)u_2 + k x_3 u_3 = 0.$$

Это ур-ие с помощью

$$u_x \equiv \Sigma u_i x_i = 0 \quad (i = 1, 2, 3)$$

заменяется ур-ем.

$$(k - m)x_3 u_3 - nx_2 u_1 - nx_1 u_2 = 0$$

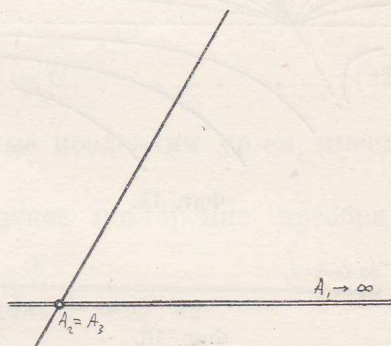
Откуда в силу (13) получаем

$$\begin{aligned} x_3(bx_1 - ax_2)dx_1 + x_3(ax_1 + bx_2)dx_2 - \\ - b(x_1^2 + x_2^2)dx_3 = 0, \end{aligned}$$

где $a = k - m$, $b = n$.

Интегрируя последнее ур-ие, имеем

$$\frac{\sqrt{x_1^2 + x_2^2}}{x_3} e^{A \operatorname{arctg} \frac{x_2}{x_1}} = C. \quad (25)$$



Фиг. 14.

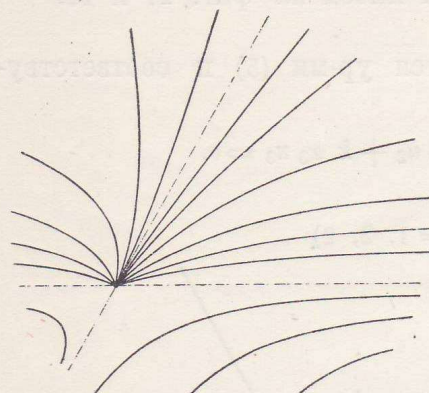
В°. Применяя к точке P плоскости λ -кратное повторение преобразования (5), приходим к ур-ям вида

$$\left\{ \begin{array}{l} \varrho y_1 = m^\lambda \left[1 - \frac{\lambda(\lambda-1)}{2!} \left(\frac{n}{m} \right)^2 + \frac{\lambda(\lambda-1)\dots(\lambda-3)}{4!} \left(\frac{n}{m} \right)^4 - \dots + \right. \\ \left. + (-1)^k \frac{\lambda(\lambda-1)\dots(\lambda-2k+1)}{(2k)!} \left(\frac{n}{m} \right)^{2k} + \dots \right] x_1 - m^\lambda \left[\lambda \left(\frac{n}{m} \right) - \right. \\ \left. - \frac{\lambda(\lambda-1)(\lambda-2)}{3!} \left(\frac{n}{m} \right)^3 + \dots + (-1)^k \frac{\lambda(\lambda-1)\dots(\lambda-2k)}{(2k+1)!} \left(\frac{n}{m} \right)^{2k+1} + \dots \right] x_2 \\ \varrho y_2 = m^\lambda \left[\lambda \left(\frac{n}{m} \right) - \frac{\lambda(\lambda-1)(\lambda-2)}{3!} \left(\frac{n}{m} \right)^3 + \dots + \right. \\ \left. + (-1)^k \frac{\lambda(\lambda-1)\dots(\lambda-2k)}{(2k+1)!} \left(\frac{n}{m} \right)^{2k+1} + \dots \right] x_1 + m^\lambda \left[1 - \frac{\lambda(\lambda-1)}{2!} \left(\frac{n}{m} \right)^2 + \right. \\ \left. + \frac{\lambda(\lambda-1)\dots(\lambda-3)}{4!} \left(\frac{n}{m} \right)^4 - \dots + \right. \\ \left. + (-1)^k \frac{\lambda(\lambda-1)\dots(\lambda-2k+1)}{(2k)!} \left(\frac{n}{m} \right)^{2k} + \dots \right] x_2 \\ \varrho y_3 = k^\lambda x_3 \end{array} \right.$$

Далее всегда можно положить $m^2 + n^2 = 1$, ибо для этого стоит разделить обе части (5) на $\sqrt{m^2 + n^2}$ и обозначить $\frac{\varrho}{\sqrt{m^2 + n^2}}$ снова через ϱ .

Отсюда, полагая $n = \sin\theta$ и $m = \cos\theta$, получим

$$\begin{cases} Qy_1 = \cos\lambda\theta x_1 - \sin\lambda\theta x_2 & (x) \\ Qy_2 = \sin\lambda\theta x_1 + \cos\lambda\theta x_2 & (xx) \\ Qy_3 = e^{\lambda\log k} x_3 \end{cases}$$



Фиг. 15.

Исключая отсюда ϱ , λ и θ , получим

$$\frac{\sqrt{y_1^2 + y_2^2}}{y_3} = \frac{\sqrt{x_1^2 + x_2^2}}{x_3} e^{-\lambda\log k}.$$

Далее из (x) и (xx) имеем

$$\frac{y_2}{y_1} = \frac{\operatorname{tg}\lambda\theta + \frac{x_2}{x_1}}{1 - \frac{x_2}{x_1}\operatorname{tg}\lambda\theta},$$

откуда

$$\lambda = \frac{1}{\theta} \left(\operatorname{arctg} \frac{y_2}{y_1} - \operatorname{arctg} \frac{x_2}{x_1} \right).$$

Подставляя это значение λ в ур. (26) и полагая

$$\frac{\lg k}{\theta} = A$$

получим

$$\frac{\sqrt{y_1^2 + y_2^2}}{y_3} e^{A \operatorname{arctg} \frac{y_2}{y_1}} = \frac{\sqrt{x_1^2 + x_2^2}}{x_3} e^{A \operatorname{arctg} \frac{x_2}{x_1}} = C$$

С. Наконец, исходя из бесконечно малого преобразования, которое в данном случае будет вида

$$Xf \equiv (mx_1 - nx_2)p_1 + (nx_1 + mx_2)p_2 + kx_3 p_3,$$

получим след. дифф. ур-ие траекторий одночленной группы бесконечно малых преобразований

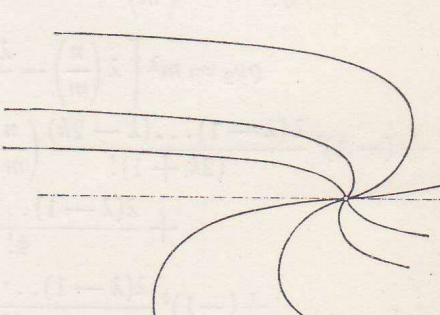
$$(mx_1 - nx_2) \frac{\partial f}{\partial x_1} + (nx_1 + mx_2) \frac{\partial f}{\partial x_2} + kx_3 \frac{\partial f}{\partial x_3} = 0.$$

Совокупная система, соответствующая этому ур-ию будет

$$\frac{dx_1}{mx_1 - nx_2} = \frac{dx_2}{nx_1 + mx_2} = \frac{dr_3}{kx_3}$$

Интегрируя эту систему, получим снова ур-ие

$$\frac{\sqrt{x_1^2 + x_2^2}}{x_3} e^{A \operatorname{arctg} \frac{x_2}{x_1}} = C$$



Фиг. 17.

II тип.

A⁰. Коллинеация этого типа определяется ур-ем (6), а каноническая форма соответствующего коннекса ур-м.

$$q_1 u_1 x_1 + q_2 u_2 x_2 + (q_2 x_3 + \beta x_2) u_3 = 0$$

и в силу

$$u_x \equiv \sum u_i x_i = 0$$

уравнением

$$(q_1 - q_2) x_1 u_1 - \beta x_2 u_3 = 0.$$

Введя сюда значения (13), имеем дифференциальное ур-ие

$$(q_1 - q_2) x_1 (xdx)_{23} + \beta x_2 (xdx)_{12} = 0.$$

Интегрируя, находим

$$(q_1 - q_2) \frac{x_3}{x_2} + \beta \lg \frac{x_2}{x_1} = C \quad \dots \dots \dots \quad (27)$$

Интегральные кривые (*W-C*), определяемые последним ур-ем, имеем на фиг. 13.

B⁰. Применяя и в этом случае λ -кратное повторение преобразования (6), получим

$$qy_1 = q_1^\lambda x_1, \quad qy_2 = q_2^\lambda x_2, \quad qy_3 = q_2^\lambda x_3 + \lambda \beta q_2^{\lambda-1} x_2$$

Исключая из этих ур-ий λ и q , будем иметь

$$\frac{y_1}{y_2} = \left(\frac{q_1}{q_2} \right)^{\frac{1}{\lambda}} \cdot \frac{y_3}{y_2} \cdot \frac{x_1}{x_2} \cdot \left(\frac{q_2}{q_1} \right)^{\frac{1}{\lambda}} \cdot \frac{x_3}{x_2}$$

или после логарифмирования

$$\lg \frac{y_1}{y_2} = \frac{q_2}{\beta} \cdot \frac{y_3}{y_2} \lg \frac{q_1}{q_2} + \lg \frac{x_1}{x_2} + \frac{q_2}{\beta} \cdot \frac{x_3}{x_2} \lg \frac{q_2}{q_1}$$

откуда

$$\begin{aligned} \lg \frac{y_1}{y_2} + \frac{q_2}{\beta} \lg \frac{q_1}{q_2} \cdot \frac{y_3}{y_2} &= \lg \frac{x_1}{x_2} + \\ &+ \frac{q_2}{\beta} \lg \frac{q_2}{q_1} \cdot \frac{x_3}{x_2} \end{aligned}$$

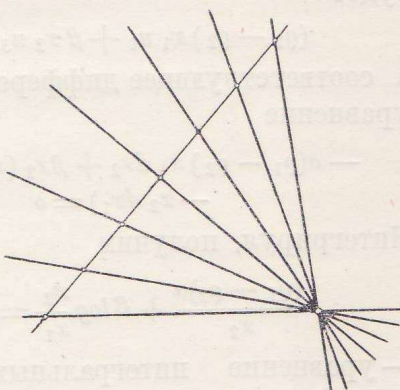
Наконец, полагая

$$\frac{\beta}{q_2} = \beta_1 \quad \lg q_1 = r_1 \quad \lg q_2 = r_2,$$

получим

$$(r_1 - r_2) \frac{y_3}{y_2} + \beta_1 \log \frac{y_2}{y_1} = (r_1 - r_2) \frac{x_3}{x_2} +$$

$$+ \beta_1 \log \frac{x_2}{x_1} = C.$$

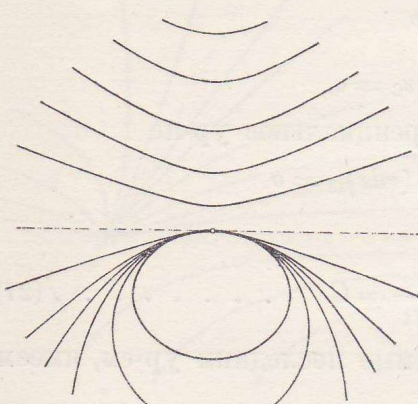


Фиг. 18.

C⁰. Символом бесконечно малого преобразования в данном случае будет выражение

$$Xf \equiv \varrho_1 x_1 p_1 + \varrho_2 x_2 p_2 + (\varrho_2 x_3 + \beta x_2) p_3 = 0.$$

Дифференциальное уравнение траекторий одночленной группы бесконечно малых преобразований:



Фиг. 19.

$$\begin{aligned} \varrho_1 x_1 \frac{\partial f}{\partial x_1} + \varrho_2 x_2 \frac{\partial f}{\partial x_2} + (\varrho_2 x_3 + \\ + \beta x_2) \frac{\partial f}{\partial x_3} = 0 \end{aligned}$$

и соответствующая система совокупных уравнений

$$\frac{dx_1}{\varrho_1 x_1} = \frac{dx_2}{\varrho_2 x_2} = \frac{dx_3}{\beta x_2 + \varrho_2 x_3} = dt.$$

Откуда общий интеграл будет вида

$$\left(x_2 e^{-\frac{\varrho_2}{\beta} \cdot \frac{x_3}{x_2}} \right)^{\varrho_1 - \varrho_2} \cdot x_1^{\varrho_2} x_2^{-\varrho_1} = K$$

или

$$x_1^{\varrho_2} x_2^{-\varrho_1} e^{\frac{-\varrho_2(\varrho_1 - \varrho_2)}{\beta} \cdot \frac{x_3}{x_2}} = K$$

Логарифмируя, снова приходим к уравнению

$$(\varrho_1 - \varrho_2) \frac{x_3}{x_2} + \beta \log \frac{x_2}{x_1} = C$$

Предположим теперь, что вершина A_1 вырожденного координатного Δ -ка удалается в бесконечность (фиг. 14).

Уравнение коннекса в этом случае будет

$$(\varrho_1 - \varrho_2) x_1 u_1 + \beta x_2 u_3 = 0,$$

а соответствующее дифференциальное уравнение

$$-a(\varrho_1 - \varrho_2) x_1 dx_2 + \beta x_2 (x_1 dx_2 - x_2 dx_1) = 0$$

Интегрируя, получим

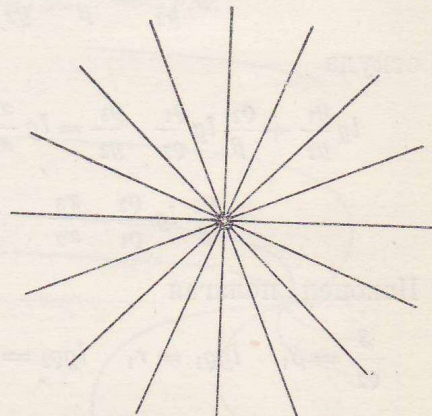
$$\frac{(\varrho_1 - \varrho_2)a}{x_2} + \beta \log \frac{x_2}{x_1} = C \quad . . . (28)$$

— уравнение интегральных кривых ($W-C$) фиг. 15.

Предположим далее, что удалается в ∞ -стъ вершина $A_2 \equiv A_3$ (фиг. 16).

Полагая $x_1 = x_2 - b$, будем для коннекса иметь уравнение.

$$(\varrho_1 - \varrho_2) (x_2 - b) u_1 + \beta x_2 u_3 = 0$$



Фиг. 20.

и дифференциальное уравнение вида

$$\text{или } (\varrho_1 - \varrho_2)(x_2 - b)(x_2 dx_3 - x_3 dx_2) - \beta bx_2 dx_2 = 0$$

$$\frac{(\varrho_1 - \varrho_2)(x_2 dx_3 - x_3 dx_2)}{x_2^2} - \beta \cdot b \frac{dx_2}{x_2(x_2 - b)} = 0$$

откуда общий интеграл будет вида

$$(\varrho_1 - \varrho_2) \frac{x_3}{x_2} + \beta \log \frac{x_2}{x_2 - b} = C \quad . \quad (29)$$

— фиг. 17.

III тип.

A⁰. Коллинеация этого типа определяется уравнением (7) и каноническая форма коннекса будет:

$$\varrho_1 u_1 x_1 + \varrho_2 (u_2 x_2 + u_3 x_3) = 0.$$

Откуда с помощью $u_x = 0$ получаем

$$(\varrho_1 - \varrho_2) x_1 u_1 = 0$$

отсюда $u_1 = 0$ и далее

$$x_2 dx_3 - x_3 dx_2 = 0$$

Интеграция этого уравнения дает

$$x_3 = Cx_2 \quad . \quad . \quad . \quad . \quad . \quad (30)$$

Семейство кривых, определяемых этим ур-ем, — на фиг. 18.

B⁰. λ — кратное применение коллинеации (7) к точке плоскости дает

$$\begin{aligned} \varrho y_1 &= \varrho_1^\lambda x_1 & \varrho y_2 &= \varrho_2^\lambda x_2 \\ \varrho y_3 &= \varrho_2^\lambda x_3 \end{aligned}$$

Исключение отсюда ϱ и λ приводит к ур-ию (30).

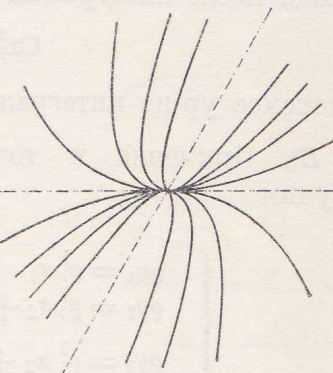
C⁰. К этому же ур-ию приходим и от бесконечно малых преобразований, интегрируя в этом случае дифференциальное ур-ие в частных производных вида

$$\varrho_1 x_1 \frac{\partial f}{\partial x_1} + \varrho_2 x_2 \frac{\partial f}{\partial x_2} + \varrho_2 x_3 \frac{\partial f}{\partial x_3} = 0.$$

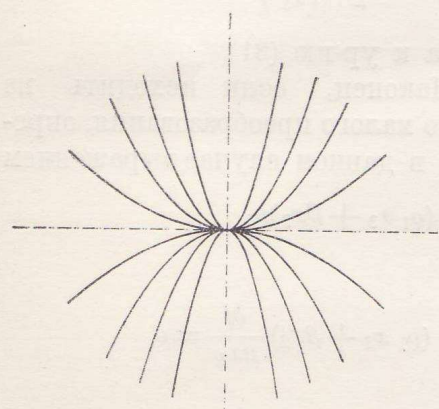
IV тип.

A⁰. Для четвертого типа ур-ия коллинеации суть ур-ия (8). Уравнение соответствующего коннекса

$$\varrho_1 (u_1 x_1 + u_2 x_2 + u_3 x_3) + \alpha r_1 u_2 + \beta x_2 u_3 = 0$$



Фиг. 17.



Фиг. 18.

Последнее с помощью $u_x = o$ приводится к виду

$$\alpha x_1 u_2 + \beta x_2 u_3 = o$$

и дифференциальное ур-ие искомых кривых будет

$$\alpha r_1 (xdx)_{31} + \beta x_2 (xdx)_{12} = o.$$

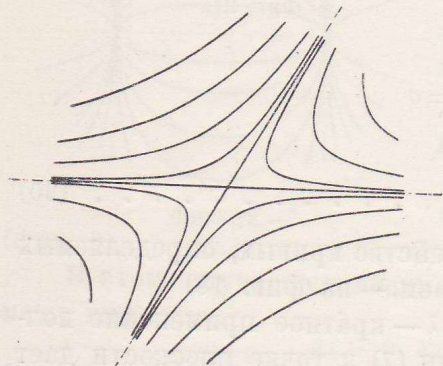
Отсюда после интеграции получаем:

$$Cx_1^2 + \beta x_2^2 - 2\alpha r_1 x_3 = o \dots \dots \dots \quad (31)$$

— искомое ур-ие интегральных кривых (фиг. 19).

B⁰. Применяя к точке плоскости преобразование (8) λ раз, получим

$$\left\{ \begin{array}{l} qy_1 = q_1^\lambda x_1 \\ qy_2 = q_1^\lambda x_2 + \lambda \alpha q_1^{\lambda-1} x_1 \\ qy_3 = q_1^\lambda x_3 + \lambda \beta q_1^{\lambda-1} x_2 + \frac{1}{2} \lambda (\lambda-1) \alpha \beta q_1^{\lambda-2} x_1 \end{array} \right.$$



Фиг. 23.

После исключения из этих ур-ий q и λ , приходим к ур-ям:

$$\begin{aligned} -\alpha \frac{y_3}{y_1} + \frac{1}{2} \beta \left(\frac{y_2}{y_1} \right)^2 &= -\alpha \frac{x_3}{x_1} + \\ &+ \frac{1}{2} \beta \left(\frac{x_2}{x_1} \right)^2 = C \end{aligned}$$

т. е. снова к ур-ию (31).

C⁰. Наконец, если исходить из бесконечно малого преобразования, определяемого в данном случае выражением

$$Xf \equiv q_1 x_1 p_1 + (q_1 x_2 + \alpha x_1) p_2 + (q_1 x_3 + \beta x_2) p_3$$

получим дифференциальное уравнение

$$q_1 x_1 \frac{\partial f}{\partial x_1} + (q_1 x_2 + \alpha x_1) \frac{\partial f}{\partial x_2} + (q_1 x_3 + \beta x_2) \frac{\partial f}{\partial x_3} = o$$

и совокупную систему:

$$\frac{dx_1}{q_1 x_1} = \frac{dx_2}{q_1 x_2 + \alpha x_1} = \frac{dx_3}{q_1 x_3 + \beta x_2} = dt$$

Интегралом последней системы будут ур-ия

$$\left\{ \begin{array}{l} x_1 = C_1 e^{p_1 t} \\ x_2 = C_2 e^{p_1 t} + \alpha C_1 t e^{p_1 t} \\ x_3 = C_3 e^{p_1 t} + \beta C_2 t e^{p_1 t} + \frac{\alpha \beta}{2} C_1 t^2 e^{p_1 t}. \end{array} \right.$$

Исключая отсюда t , мы получим вновь уравнение (31)

V тип.

A⁰. В последнем случае коллинеация определяется ур-ем (9). Ур-ие соответствующего коннекса

$$\varrho_1 (x_1 u_1 + x_2 u_2 + x_3 u_3) + \alpha x_1 u_2 = 0$$

или с помощью $u_x = 0$

$$\alpha x_1 u_2 = 0$$

дифференциальное ур-ие кривых главной коинциденции в силу (13) будет:

$$u_2 = 0 \text{ или } (xdx)_{31} = 0$$

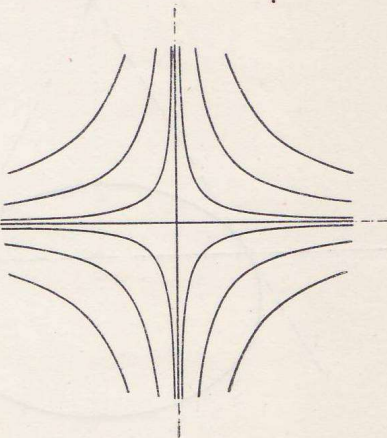
откуда

$$x_1 + Cx_3 = 0 \dots \dots \quad (32)$$

— ур-ие интегральных кривых (фиг. 20)

B⁰. Применяя и здесь преобразование (9) последовательно λ раз, получим линейное преобразование той же системы, именно:

$$\begin{aligned} \varrho y_1 &= \varrho_1^\lambda x_1, & \varrho y_2 &= \varrho_1^\lambda x_2 + \lambda \alpha \varrho_1^{\lambda-1} x_1, \\ \varrho y_3 &= \varrho_1^\lambda x_3 \end{aligned}$$



Фиг. 24.

Исключение из этих уравнений λ и ϱ дает ур-ие

$$\frac{y_1}{y_3} = \frac{x_1}{x_3} = C$$

т. е. уравнение (32)

C⁰. К тому же ур-ию прийдем, если будем исходить из бесконечно малых преобразований, символ коих в данном случае

$$Xf \equiv \varrho_1 x_1 p_1 + (\alpha x_1 + \varrho_1 x_2) p_2 + \varrho_1 x_3 p_3$$

и дифф. ур-ие траекторий одночленной группы бесконечно малых преобразований

$$\varrho_1 x_1 \frac{\partial f}{\partial x_1} + (\alpha x_1 + \varrho_1 x_2) \frac{\partial f}{\partial x_2} + \varrho_1 x_3 \frac{\partial f}{\partial x_3} = 0$$

Интегрируя последнее ур-ие, получим опять ур-ие (32)

Частный случай. Если в системе (9) положить $\alpha = 0$, то ур-ия коллинеации принимают вид

$$\varrho y_1 = \varrho_1 x_1, \quad \varrho y_2 = \varrho_1 x_2, \quad \varrho y_3 = \varrho_1 x_3,$$

а уравнение коннекса вид: $u_x = 0$.

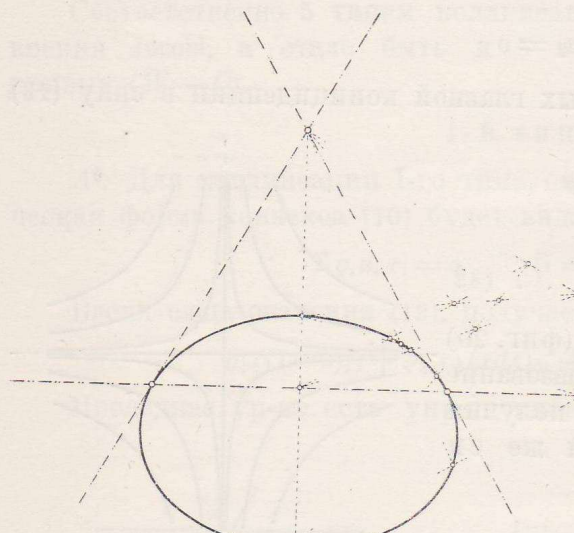
В этом случае, очевидно, каждая точка плоскости остается инвариантной (преобразуется в саму себя).

I. $W-C$ первого типа.

5. Различные виды $W-C$ этого типа.

Для $W-C$ первого типа мы получили уравнения:

A^0 . Для координатного Δ -ка, все элементы которого вещественны и все вершины находятся на конечном расстоянии:



Фиг. 25.

$$x_1^{y_1} x_2^{y_2} x_3^{y_3} = C,$$

где

$$r_1 + r_2 + r_3 = o \quad \dots (18)$$

или в виде

$$\begin{aligned} & \lg \frac{\varrho_2}{\varrho_3} \lg \frac{y_1}{x_1} + \lg \frac{\varrho_3}{\varrho_1} \lg \frac{y_2}{x_2} + \\ & + \lg \frac{\varrho_1}{\varrho_2} \lg \frac{y_3}{x_3} = o \quad \dots (19) \end{aligned}$$

где

$$r_1 = \lg \frac{\varrho_2}{\varrho_3}, \quad r_2 = \lg \frac{\varrho_3}{\varrho_1}$$

$$\text{и } r_3 = \lg \frac{\varrho_1}{\varrho_2}$$

Общее расположение этих кривых имеем на фиг. 7.

B^0 . Для координатного Δ -ка, у которого вершина A_1 находится на ∞ -стии:

$$x_1^{\rho_2 - \rho_3} x_2^{\rho_3 - \rho_1} (x_2 + a x_3)^{\rho_1 - \rho_2} = C, \quad \rho_1 > \rho_2 > \rho_3 \quad \dots (23)$$

Расположение соответствующих кривых дает фиг. 9.

C^0 . Для координатного Δ -ка с вершиной A_2 на ∞ -стии:

$$x_1^{\rho_2 - \rho_3} x_2^{\rho_3 - \rho_1} (x_1 + a x_3)^{\rho_1 - \rho_2} = C, \quad \rho_1 > \rho_2 > \rho_3 \quad (24)$$

Общее расположение этих кривых имеем на фиг. 11 и 12.

Вторая фигура дает расположение кривых, когда вершина A_2 удаляется в ∞ -сть по направлению, перпендикулярному к противоположной стороне.

D^0 . Применяя к кривым (18) или, что тоже, к кривым

$$x_2^{y_2} x_3^{y_3} = C x_1^{-y_1}$$

проективное преобразование, переводящее сторону основного Δ -ка $x_3 = o$ в бесконечно удаленную прямую, получаем уравнение наших кривых в декартовой системе координат, именно:

$$y = C x^n \quad \dots \quad (33)$$

или, если положить $C = a^{1-n}$,

$$y = a^{1-n} x^n.$$

Последнее ур-ие

a^0 . при $n = \frac{p}{p-q} > 0$ есть обобщенное ур-ие семейства парабол высшего порядка (фиг. 21 и 22);

b^0 . при $n = -\frac{p}{p-q} < 0$

[$p > q$] уравнение (33) определяет семейство гипербол высшего порядка (фиг. 23 и 24). Таким образом, все $W-C$ первого типа через соответствующее проективное преобразование переходят в ∞' высших парабол и гипербол;

c^0 . Среди гипербол имеются кривые, определяемые ур-ем

$$x^{v_1} y^{v_2} = C,$$

где

$$v_1 > 0, v_2 > 0 \text{ и } v_1 + v_2 = 1.$$

Это так называемые *политропные кривые*;

d^0 . при n —иррациональном, ур-ие (33) определяет интерсцендентные параболы и гиперболы (*адиабаты*);

E^0 . При $C=1$ уравнение (18) принимает вид

$$x_1^{v_1} x_2^{v_2} x_3^{v_3} = 1 \quad (v_1 + v_2 + v_3 = 0) \quad (34)$$

Введя в рассмотрение барицентрические координаты μ_1, μ_2, μ_3 , связь коих с прямолинейными выражается ур-ми

$$\sigma\mu_1 = l_1 x_1, \sigma\mu_2 = l_2 x_2, \sigma\mu_3 = l_3 x_3$$

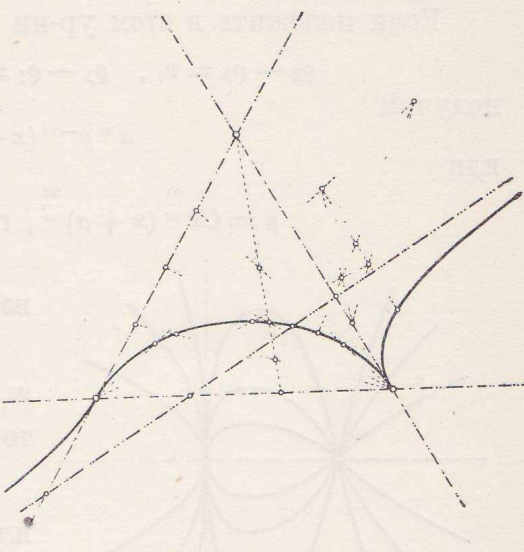
мы ур-ие (34) приводим к виду

$$\frac{\mu_1}{l_1^t} = \frac{\mu_2}{l_2^t} = \frac{\mu_3}{l_3^t}$$

Последнее ур-ие дает нам кривые, определяющие геометрическое место точек, барицентрические координаты коих μ_1, μ_2, μ_3 пропорциональны одной и той же степени t соответствующих сторон l_1, l_2 и l_3 .

Имеем кривые „Les potentielles triangulaires“ de Longchamps—фиг. 25 и 26.

[G. de Longchamps „Sur la potentielle triangulaire“ Mathesis t. VI. 1886].



F^0 . Как и в случае D^0 , применяя к кривым (24) преобразование $x_1 = x, x_2 = y, x_3 = 1$ получим уравнение

$$x^{\rho_2 - \rho_3} y^{\rho_3 - \rho_1} (x + a)^{\rho_1 - \rho_2} = C.$$

Если положить в этом уравнении

$$\rho_2 - \rho_3 = r_1, \quad \rho_3 - \rho_1 = -r_2 \quad \text{и} \quad \rho_1 - \rho_2 = r_3,$$

получим

$$x^{r_1} y^{-r_2} (x + a)^{r_3} = C$$

или

$$y = C x^{\frac{r_1}{r_2}} (x + a)^{\frac{r_3}{r_2}}, \quad \text{где} \quad r_1 + r_2 + r_3 = 0 \dots \dots \dots (35)$$

Кривые, определяемые этим уравнением, изображены на фиг. 27—30.

Если положить

$$\rho_2 - \rho_3 = r_1, \quad \rho_3 - \rho_1 = r_2, \quad \rho_1 - \rho_2 = r_3$$

то будем иметь

$$x^{r_1} y^{r_2} (x + a)^{r_3} = C$$

или

$$y = \frac{C}{x^{\frac{r_1}{r_2}} (x + a)^{\frac{r_3}{r_2}}}$$

где

$$r_1 + r_2 + r_3 = 0. \dots \dots \dots (36)$$

Расположение кривых имеем на фиг. 31 и 32.

G^0 . Аналогично, применяя к кривым (23) то же преобразование

$$x_1 = x, \quad x_2 = y, \quad x_3 = 1$$

получим

$$x^{\rho_2 - \rho_3} y^{\rho_3 - \rho_1} (y + a)^{\rho_1 - \rho_2} = C$$

Если положить здесь

$$\begin{aligned} \rho_3 - \rho_1 &= +r_2 & \rho_1 - \rho_2 &= r_3 \\ \text{и} \quad \rho_2 - \rho_3 &= -r_1, \end{aligned}$$

то будем иметь

$$x = C y^{\frac{r_2}{r_1}} (y + a)^{\frac{r_3}{r_1}}, \quad r_1 + r_2 + r_3 = 0 \quad (37)$$

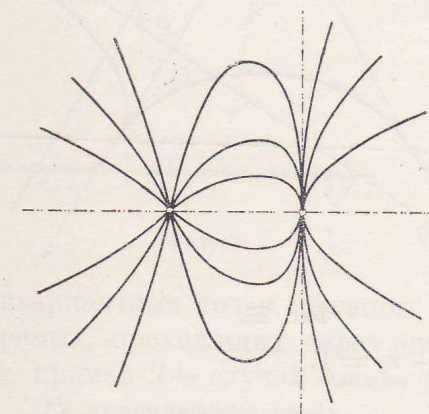
Если положить

$$\begin{aligned} \rho_3 - \rho_1 &= r_2, & \rho_1 - \rho_2 &= r_3, \\ \rho_2 - \rho_3 &= r_1, \end{aligned}$$

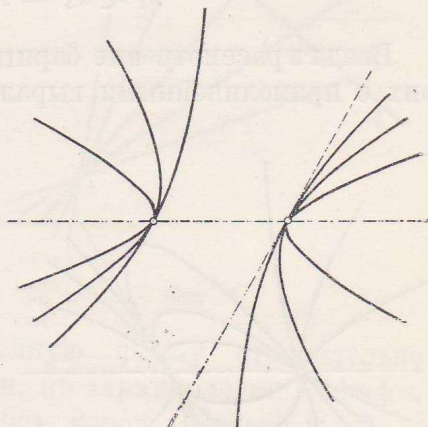
то получим

$$x = \frac{C}{y^{\frac{r_2}{r_1}} (y + a)^{\frac{r_3}{r_1}}}, \quad (r_1 + r_2 + r_3 = 0) \dots \dots \dots (38)$$

Кривые, определяемые уравнениями (37) и (38), расположатся аналогично фиг. 27—32.



Фиг. 28.



Фиг. 29.

6^o. Свойства $W-C$ первого типа.

A^o . 1. Кривые, определяемые ур-ем (19), вообще трансцендентны, они будут алгебраическими, если $\lg \frac{q_i}{q_k}$ — числа целые, положительные или отрицательные.

2. Уравнение $W-C$ в тангенциальных координатах будет того же вида, что и в точечных, т. е.

$$u_1^{v_1} u_2^{v_2} u_3^{v_3} = C \quad \dots \dots \dots \quad (39)$$

3. Из ур-ий (18) и (39) следует, что в случае вещественного Δ -ка все вещественные $W-C$ проходят через две его вершины и в этих вершинах они касаются его сторон.

4. $W-C$ имеют особенные точки только в вершинах основного Δ -ка, и двойственны: только стороны основного Δ -ка могут быть особенными касательными.

5. Совокупность линейных преобразований (4) переводит координатный Δ -к и $W-C$ в себя самих.

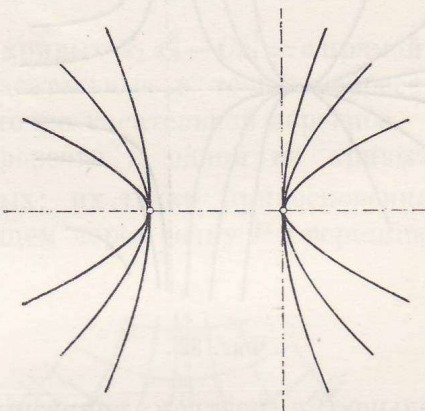
6. Касательная к какой-либо из $W-C$ системы образует с другими кривыми точечный ряд u . Меняя положение касательной, будем получать точечные ряды, проективные первоначальному ряду.

7. Двойное отношение точки прикосновения касательной к кривой W и трех точек пересечения касательной со сторонами основного Δ -ка постоянно на всей кривой и на каждой кривой той же системы.

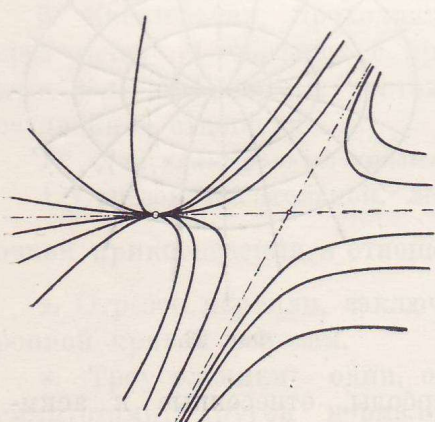
8. Касательные в любой точке P кривой W образуют с тремя прямыми, соединяющими P с вершинами координатного Δ -ка, постоянное двойное отношение.

9. Если на каждой касательной T кривой W определим точку P , составляющую с тремя точками пересечения T со сторонами основного Δ -ка постоянное двойное отношение, то точка P описывает $W-C$ той же системы.

10. Если в каждой точке P кривой W построим прямую, образующую с прямыми PA_1, PA_2, PA_3 постоянное двойное отношение, то эта прямая огибает $W-C$ той же системы,



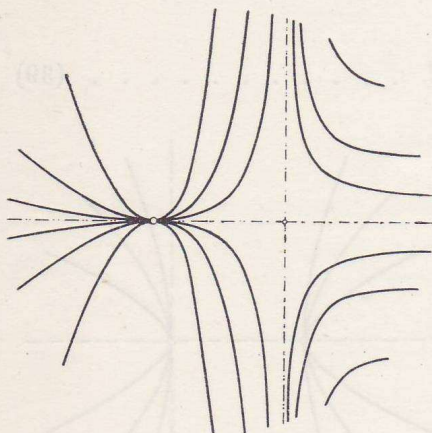
Фиг. 30.



Фиг. 31.

11. Точки кривых (18), которых касательные проходят через точку $(x_1 x_2 x_3)$, лежат на коническом сечении, проходящем через вершины $A_1 A_2 A_3$ и точку $(x_1 x_2 x_3)$.

12. Если во всех точках пересечения прямой с системой $W-C$ проведем касательные, то последние касаются конического сечения, которое касается секущей прямой и трех сторон основного Δ -ка.



Фиг. 32.

13. Взаимная поляра W -кривой системы относительно конического сечения, имеющего основным Δ -ком полярный Δ -к, есть кривая той же системы.

14. Если в точке $W-C$ проведем коническое сечение, которое ее касается и которое в то же время проходит через вершины основного Δ -ка, то радиус кривизны $W-C$ в точке касания вдвое больше радиуса кривизны (в этой же точке) конического сечения [Fouret, Jamet].

15. Центр кривизны $W-C$ в точке P расположен симметрично относительно P с центром кривизны конического сечения, проходящего через вершины основного Δ -ка и касательного к $W-C$ в точке P .

16. Всякая ковариантная кривая относительно $W-C$ есть кривая той же системы.

17. $W-C$ принадлежат к системе с характеристиками $\mu = 1, \nu = 1$.
В частности для парабол и гипербол высшего порядка $y = Cx^n$:

1. Ортогональные траектории $W-C$ определяемых ур-ем $y = Cx^n$ выражаются ур-ем

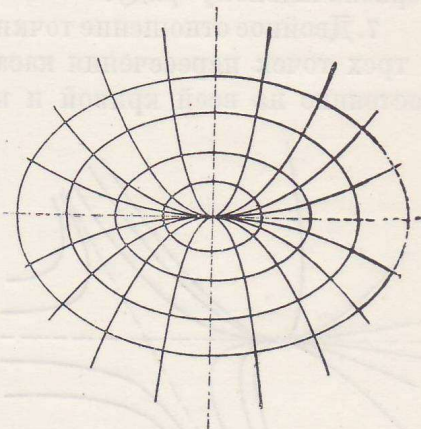
$$x^2 + ny^2 = C$$

т. е. $W-C$ суть ортогональные траектории подобных концентрических конических сечений.

При $n=2$: параболы $y = Cx^2$ суть траектории концентрических подобных и подобно расположенных эллипсов — фиг. 33;

при $n=-1$: равносторонние гиперболы, отнесенные к асимптотам суть ортогональные траектории также равносторонних гипербол — фиг. 34.

2. Двойное отношение точки прикосновения касательной к кривой с точками пересечения ее со сторонами Δ -ка равно n .



Фиг. 33.

3. Геометрическое место оснований нормалей, проведенных из точки (xy) плоскости к кривой $x^p y^{p-q} = a^{2p-q}$ есть обыкновенная гипербола.

C^o. Для кривых 2-го пор. $x_2 x_3 - Cx_1^2 = 0$ [получаемых из ур-я (19) при условии $q_2 q_3 - q_1^2 = 0$].

1. Если через вершину A_i основного Δ -ка проведем две прямые, то прямые, соединяющие их точки пересечения с кривыми $x_2 x_3 - Cx_1^2 = 0$, пересекаются в одной точке P противоположной стороны (фиг. 25).

D^o. Для кривых 3-го пор. $x_2 x_3^2 - Cx_1^2 = 0$ [получаемых из ур-я (19) при условии $q_2 q_3^2 - q_1^3 = 0$].

1. Если пересечем прямой систему кривых $x_2 x_3^2 - Cx_1^3 = 0$ прямой, проходящей через точку возврата, то касательные в точках пересечения все сходятся в одной и той же точке касательной перегиба.

3. Из точки P плоскости можно провести к одной из кривых семейства $x_2 x_3^2 - Cx_1^3 = 0$ *три* касательных; их точки прикосновения лежат на коническом сечении, проходящем через точку P и вершины A_1, A_2, A_3 основного Δ -ка.

3. Касательные эти имеют всегда одно и тоже двойное отношение с PA_1 (или PA_3), если точка P движется по какой либо другой кривой нашей системы.

4. Из точки касательной перегиба к какой либо кривой системы можно провести *одну* касательную; из точки касательной возврата — *две* касательные; из точки M кривой — *одну* касательную.

5. Касательная, проходящая через точку M образует с прямыми MA_1, MA_2 , и MA_3 постоянное двойное отношение.

E^o. Для полипропных кривых.

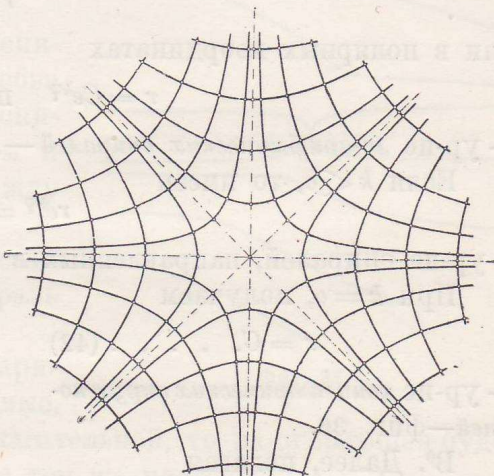
1. Отрезок касательной, лежащей между асимптотами, делится точкой прикосновения в отношении $\frac{v_1}{v_2}$.

2. Отрезок нормали, заключенной между осями, делится полипропной кривой пополам.

3. Треугольники: один, образованный касательной и обоими асимптотами, другой нормалью и обоими осями — оба вписаны в один и тот же круг.

F^o. Для потенциальной кривой.

1. Потенциальная кривая Δ -ка проходит через его центр тяжести.



Фиг. 34.

2. Кривая Longchamps'a проходит через центр вписанного в Δ -ка круга, через центр тяжести Δ -ка и точку Lemoin'a.

3. Кривая Longchamps'a проходит через две конечные точки средней стороны и в них касается обоих других сторон Δ -ка.

I^o. $W-C$ для коорд. Δ -ка с минимыми элементами.

[Частный случай $W-C$ первого типа].

7^o. Различные виды $W-C$ в этом случае.

В этом случае $W-C$ определяются ур-м:

$$\frac{\sqrt{x_1^2 + x_2^2}}{x_2} e^{\text{Aarctg} \frac{x_2}{x_1}} = C \dots \quad (25)$$

A^6 . Применяя к ним преобразование, переводящее

$$x_1 = x, \quad x_2 = y, \quad x_3 = 1,$$

получаем

$$\sqrt{x^2 + y^2} e^{\text{Aarctg} \frac{y}{x}} = C \dots \quad (40)$$

или в полярных координатах

$$r = C e^{k\varphi} \quad \text{при } k > 0 \dots \dots \dots \quad (41)$$

— ур-ие *логарифмических спиралей* — фиг. 35.

Если $k < 0$, то имеем

$$r e^{k\varphi} = C$$

— ур-ие спиралей, направленных в обратную сторону.

При $k = 0$, получаем

$$r = C \dots \dots \dots \quad (42)$$

— ур-ие *концентрических окружностей* — фиг. 36.

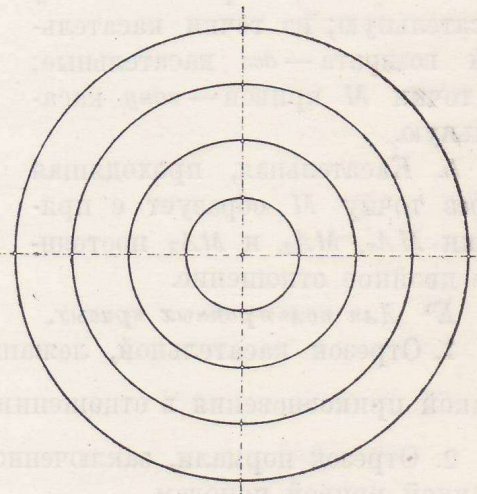
B^o. Далее, полагая

$$x_1 = x, \quad x_2 = 1, \quad x_3 = y,$$

получим

$$\frac{\sqrt{x^2 + 1}}{y} e^{\text{Aarctg} \frac{1}{x}} = C$$

Переходя к полярным координатам и полагая $\frac{1}{x} = \operatorname{tg} u$ будем иметь ур-ие



Фиг. 35.

$$r^2 = \frac{C e^u}{\sin^2 u} + C t g^2 u \quad . \quad (43)$$

Получаем уравнение кривых, расположение которых имеем на фиг. 37.

8⁰. Свойства логарифмической спирали.

1. Логарифмическая спираль пересекает радиусы векторы, выходящие из точки O под одним и тем же углом.
2. Полюс логарифмической спирали есть асимптотическая точка.
3. Радиус кривизны логарифмической спирали = длине полярной нормали.
4. Натуральное уравнение логарифмической спирали

$$ks = \rho - \sqrt{k^2 + 1} C.$$

5. Длина дуги логар. спирали от полюса до точки P

$$s = \frac{r}{\cos \varphi} = PT$$

— длине касательной в точке P до пересечения ее с перпендикуляром к радиусу вектору OP в точке O .

6. Все логарифмические спирали с одним и тем же углом подъема подобны.

7. Каждая логарифмическая спираль относительно полюса подобна сама себе; все логарифмические спирали с одним и тем же полюсом и углом подъема конгруэнтны между собой.

8. Эволюта логарифмической спирали есть конгруэнтная спираль с тем же полюсом.

9. Если через все точки логарифмической спирали проведем прямые, образующие постоянный угол с касательной, то их огибающая будет снова логарифмическая спираль с тем же полюсом.

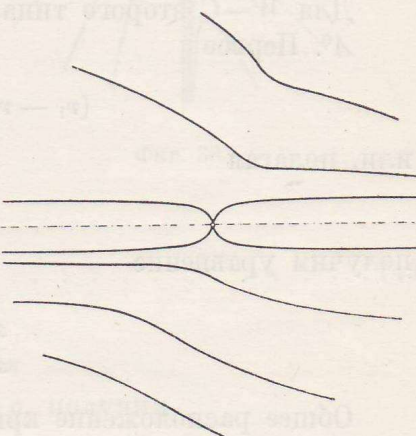
10. Подэр логарифмической спирали относительно полюса есть снова логарифмическая спираль с тем же полюсом и тем же углом подъема.

11. Если в полюсе логарифмической спирали поместить светящуюся точку, то каустика будет снова логарифмическая спираль, конгруэнтная данной.

12. Если через точку P плоскости проведем касательные ко всем завиткам логарифмической спирали, то геом. м. точек прикосновения есть окружность, проходящая через точку P и полюс спирали.

13. Логарифмическая спираль принадлежит к системе кривых с характеристиками $\mu = 1$, $\nu = 1$.

14. Если пересечем логарифмическую спираль прямой u и во всех точках пересечения построим касательные, то огибающая последних будет парабола, касающаяся прямой u и имеющая своим фокусом полюс спирали.



Фиг. 37.

15. Взаимная поляра логарифмической спирали относительно соприкасающейся равносторонней гиперболы с центром в полюсе есть снова логарифмическая спираль той же системы.

16. Зная две точки и полюс, можно построить сколько угодно точек логарифмической спирали.

17. Если угол φ возрастает в арифметической прогрессии, то радиусы векторы, выходящие из полюса, возрастают в геометрической прогрессии.

18. Зная две ее точки P_1, P_2 и полюс O , строим на OP_2 треугольник $OP_2 P_3$ подобный Δ -ку $OP_1 P_2$. Полученная точка P_3 будет принадлежать нашей кривой.

Подобное построение можно продолжить и дальше.

II. W—C второго типа.

9^o. *Различные виды кривых этого типа.*

Для W—C второго типа мы получили уравнения:

A^o. Первое

$$(r_1 - r_2) \frac{x_3}{x_2} + \beta \lg \frac{x_2}{x_1} = C \quad \dots \dots \dots \quad (27)$$

или, полагая

$$\frac{r_1 - r_2}{\beta} = \frac{1}{b}$$

получим уравнение

$$\frac{x_2}{x_1} e^{\frac{x_3}{bx_2}} = C \quad \dots \dots \dots \quad (44)$$

Общее расположение кривых, определяемых этим ур-ем имеем на фиг. 13.

B^o. Для случая, когда вершина A_1 удаляется в бесконечность, уравнение кривых принимает вид

$$\frac{(\rho_1 - \rho_2)a}{x_2} + \beta \lg \frac{x_2}{x_1} = C \quad \dots \dots \dots \quad (28)$$

Соответствующие кривые изображены—на фиг. 15.

C^o. Когда удаляется в бесконечность точка $A_2 = A_3$, то уравнение кривых в этом случае будет вида:

$$(\rho_1 - \rho_2) \frac{x_3}{x_2} + \beta \lg \frac{x_2}{x_2 - b} = C \quad \dots \dots \dots \quad (29)$$

Кривые, определяемые этим ур-ем,—на фиг. 17.

D^o. Применяя к кривым (44) преобразование, при котором

$$x_1 = y, x_2 = x \text{ и } x_3 = 1,$$

получим

$$y = Cx e^{\frac{1}{bx}} \quad \dots \dots \dots \quad (46)$$

Кривые, соответствующие этому уравнению имеем на фиг. 38.

Уравнение кривых (44) в линейных координатах будет

$$\frac{u_1}{bu_3} = C e^{\frac{u_2}{bu_3}} \quad \dots \dots \dots \quad (45)$$

Применяя к нему преобразование

$$u_1 = v, u_2 = u, u_3 = 1$$

получим

$$v = C e^{\frac{u}{b}} \quad \dots \dots \quad (47)$$

E⁰. Применяя к кривым (44) преобразование

$$x_1 = y, x_2 = 1 \text{ и } x_3 = x$$

и соответственно

$$u_1 = v, u_2 = 1 \text{ и } u_3 = u$$

получим из уравнения (44)

$$y = C e^{\frac{x}{b}} \quad \dots \dots \quad (48)$$

— уравнение семейства логарифмических кривых — фиг. 39,

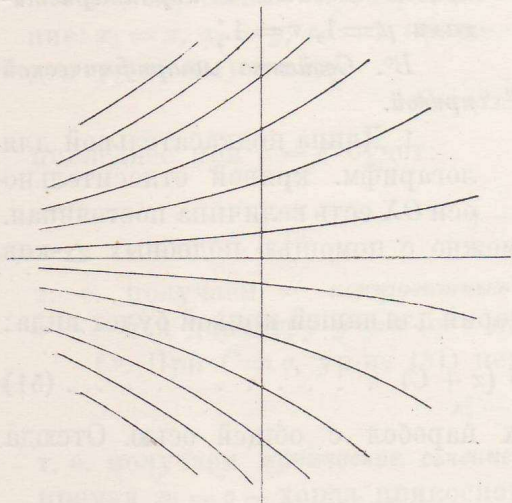
а из уравнения (45)

$$v = C u e^{\frac{1}{bu}} \quad \dots \dots \dots \quad (49)$$

F⁰. Применяя преобразование

$$x_1 = y, x_2 = x$$

к кривым (28) и полагая $(\varrho_1 - \varrho_2) a = -\alpha$, получим



Фиг. 39.

Фиг. 38.

т. е. кривые типа (46).

G⁰. Применяя преобразование

$$x_2 = y, x_3 = x$$

к кривым (29) и полагая

$$\varrho_1 - \varrho_2 = \alpha, \frac{\alpha}{\beta} = A \text{ и } C = \lg \frac{1}{C},$$

получим

$$y = \frac{b}{1 - Ce^{\frac{A}{b} \frac{x}{y}}}$$

или в полярной системе координат

$$r = \frac{b}{\sin \varphi (1 - Ce^{Atg \varphi})} \quad \dots \dots \dots \quad (50)$$

Кривые для этого уравнения имеем на фиг. 40.

H^o. Отнесем логарифмическую кривую, определяемую ур-м (48) к косоугольной системе координат, в которой примем: за ось *OY* прямую, проходящую через начало под углом $\varphi = 45^\circ$ к оси *OX*, а за новое начало точку $(0, -b)$.

В этой новой системе координат ур-ие (48) будет вида:

$$X - Y + a = Ce^{-\frac{Y}{a}} \dots \dots \dots \quad (51)$$

Кривая, определяемая последним ур-м, наз. *кривой Debeaune'a*. Она представляет собой логарифмическую, отнесенную к косоугольным осям: осью *y*-ов служит асимптота кривой $x - y + a = 0$, а осью *x*-ов прямая, параллельная оси *x*-ов.

Таким образом кривая Debeaune'a принадлежит к *W-C* второго типа.

10. Свойства *W-C* второго типа.

A^o. Из ур-ий (46-49) следует, что

1. Кривые $y = Cxe^{bx}$ и $y = Ce^{\frac{x}{b}}$ двойственны.

2. *W-C* II-го типа суть проекции логарифмических кривых.

3. Если из любой точки *P* плоскости провести касательные к *W-C* II-го типа, то геом. место точек прикосновения есть коническое сечение, проходящее через точку *P* и точку *A₃* ($x_1 = 0$, $x_2 = 0$), иначе

W-C кривые II-го типа суть кривые системы с характеристиками $\mu = 1$, $v = 1$.

B^o. Свойства логарифмической кривой.

1. Длина подкасательной для логарифм. кривой относительно оси *OX* есть величина постоянная.

2. Зная одну точку кривой, можно с помощью подобных Δ -ков построить все ее остальные точки.

3. Ур-ие ортогональных траекторий для нашей кривой будет вида:

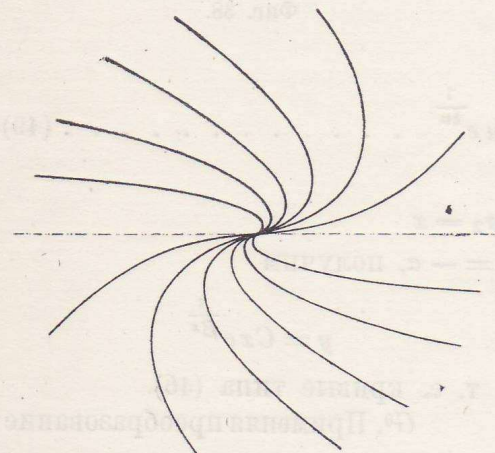
$$y^2 = 2p(x + C) \dots \dots \dots \quad (51)$$

т. е. имеем систему конгруэнтных парabol с общей осью. Отсюда можно сказать:

W-C II-го типа суть ортогональные траектории конгруэнтных парabol с общей осью. Фиг. 41.

C^o. Свойства кривой Debeaune'a

1. Если длину отрезка асимптоты, заключенного между точками пересечения с нею касательной и прямой, проходящей через точку



Фиг. 40.

касания П-но оси абсцисс, назовем *подкасательной*, то *длина подкасательной кривой Debeain'e'a* есть величина постоянная.

2. Геом. м. касательных, проведенных из точки P плоскости к данной кривой будет *ипербола*, проходящая через эту точку, стало быть

Кривая Debeain'e'a есть кривая системы с характеристиками $\mu = 1$, $v = 1$.

III. $W - C$ остальных типов

11⁰. $W - C$ третьего типа.

В случае перспективной коллинеации ур-ие

$$x_3 = Cx_2 \quad \dots \dots \dots \quad (30)$$

определяет *пучок прямых*, проходящих через центр коллинеации Таким образом в этом случае $W - C$ суть прямые — фиг. 18.

12⁰. $W - C$ четвертого типа.

В этом случае ур-ие

$$Cx_1^2 + \beta x_2^2 - 2ax_1x_3 = 0 \quad . \quad (31)$$

дает пучек конических сечений — фиг. 19.

A⁰. Применяя преобразование, при котором

$$x_1 = x, x_2 = y, x_3 = 1$$

получим

$$Cx^2 + \beta y^2 - 2ax = 0 \quad . \quad (52)$$

— *пучок конических сечений, имеющих соприкосновение 3-го порядка*.

B⁰. Применяя преобразование: $x_2 = x, x_3 = y, x_1 = 1$, приведем ур-ие (31) к виду

$$C + \beta x^2 - 2ay = 0;$$

последнее при $a = \beta$ будет:

$$y - \frac{1}{2}x^2 = C \quad \dots \dots \dots \quad (53)$$

т. е. получаем ∞^1 *конгруэнтных парабол*, отнесенных к касательной $x = 0$ и к диаметру $y = 0$ (ось параб.) — фиг. 42 и 43.

C⁰. При $C = 0$, ур-ие (31) переходит при $\beta = a$ в ур-ие

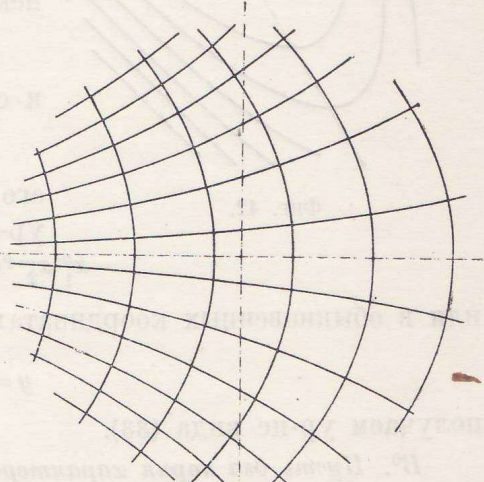
$$x_2^2 - 2x_1x_3 = 0 \quad \dots \dots \dots \quad (54)$$

т. е. получаем *коническое сечение*, касающееся прямых $x_1 = 0, x_3 = 0$; прямая $x_2 = 0$ — хорда прикосновения — фиг. 25.

D⁰. Если одна из этих касательных, напр. $x_1 = 0$ совпадает с ∞ — но удал. прямой, то ур-ие (54) приводится к виду

$$x_2^2 - 2x_3 = 0$$

т. е. снова получаем *параболу*.



Фиг. 41.

13⁰. $W - C$ пятого типа.

В данном случае ур-ие

$$x_1 + Cx_3 = 0 \dots \dots \dots \quad (32)$$

определяет *лучок прямых*, проходящих через центр гомологии ($x_1 = 0, x_3 = 0$), лежащей на оси — фиг. 20.

14⁰. Случай вырожденной коллинеации и $W - C$.

Когда один или несколько корней характеристического уравнения $\Delta(\rho) = 0$ обращаются в нуль, соответствующая коллинеация наз. *вырожденной*.

Рассмотрим следующие случаи:

A^0 . Пусть один из корней, напр. $\rho_3 = 0$.

Тогда каноническая форма коннекса (15) переходит в

$$\rho_1 u_1 x_1 + \rho_2 u_2 x_2 = 0$$

и соответствующее дифф. ур-ие будет

$$\rho_1 x_1 (xdx)_{23} + \rho_2 x_2 (xdx)_{31} = 0$$

его интегральные кривые определяются ур-ем:

$$x_1^{\rho_2} x_2^{-\rho_1} x_3^{\rho_1 - \rho_2} = C$$

или в обыкновенных координатах

$$y = Cx^{\frac{\rho_2}{\rho_1}}$$

получаем ур-ие вида (33).

B^0 . Пусть два корня характеристического ур-ия $= 0$, напр.

$$\rho_2 = \rho_3 = 0.$$

Ур-ие коннекса [A^0 стр. 41] в этом случае будет

$$\rho_1 u_1 x_1 + \beta x_2 u_3 = 0,$$

соответствующее дифференц. ур-ие

$$\rho_1 x_1 (xdx)_{23} + \beta x_2 (xdx)_{12} = 0.$$

Его интеграл

$$\rho_1 \frac{x_3}{x_2} + \beta \lg \frac{x_2}{x_1} = C$$

Получаем ур-ие вида (27).

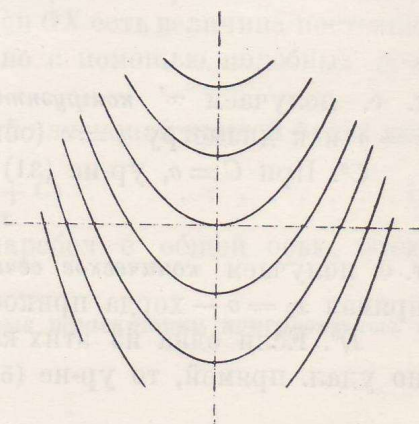
C^0 . Наконец, когда все 3 корня характерист. ур. равны нулю: $\rho_1 = \rho_2 = \rho_3 = 0$.

Каноническая форма коннекса [A^0 стр. 43 тип IV] имеет вид:

$$\alpha x_1 u_2 + \beta x_2 u_3 = 0$$

а диффр. ур-ие

$$\alpha r_1 (xdx)_{31} + \beta x_2 (xdx)_{12} = 0.$$



Фиг. 43.

Его интегральные кривые определяются ур-ем:

$$Cx_1^2 + \beta x_2^2 - 2\alpha x_1 x_3 = 0,$$

в этом случае приходим к ур-ю (31).

Таким образом с геометрической стороны вырожденные коллинеации ничего нового не дают. Во всех указанных случаях получаем рассмотренные выше кривые.

15°. Значение $W-C$ в теории дифференциальных ур-ий.

Расположение интегральных кривых ур-я Jacobi (или что тоже $W-C$) вблизи его особенных точек лежит, как известно, в основе классификации обыкновенных критических точек дифференциального ур-я 1-го порядка и 1-ой степени.

Последняя классификация дана H. Poincaré.

[H. Poincaré. „Sur les courbes définies par les équations différentielles“ J. de Math. (3), 7, 1881].

Однако следует заметить, что типы особенных точек, установленные H. Poincaré, впервые встречаются в работе Н. Жуковского. Кинематика жидкого тела Матем. Сб. Т. VIII, 1876, стр. 61 или Соч. I, стр. 92.

На это обстоятельство, а также и на то, что вопрос о критических точках дифференциального ур-я тесно связан с изучением различных типов самопроективных кривых ($W-C$) обращает внимание проф. Д. М. Синцов. [Д. М. Синцов. Н. Е. Жуковский и классификация особых точек диффер. ур-я 1-го пор. 1924 г.].

В своей работе Н. Жуковский рассматривает для бесконечно малых линий токов следующее дифф. ур-ие

$$\frac{dx_1}{m_1 x_1 - nx_2} = \frac{dx_2}{nx_1 + m_2 x_2} = \frac{dx_3}{kx_3}$$

или в обыкновенных координатах

$$\frac{dx}{m_1 x - ny} = \frac{dy}{nx + m_2 y}$$

Взяв последнее ур-ие в виде

$$dx(nx + m_2 y) = dy(m_1 x - ny)$$

и заменив в нем

$$m_1 = \frac{m_2 + m_1}{2} - \frac{m_2 - m_1}{2}$$

$$m_2 = \frac{m_2 + m_1}{2} + \frac{m_2 - m_1}{2},$$

умножим на интегрирующий множитель

$$M = \frac{1}{(m_2 - m_1)xy + n(x^2 + y^2)}$$

Тогда получим

$$\begin{aligned} \frac{(m_2 - m_1)(ydx + xdy) + 2n(xdx + ydy)}{(m_2 - m_1)xy + n(x^2 + y^2)} &= \frac{(m_2 + m_1)(xdy - ydx)}{(m_2 - m_1)xy + n(x^2 + y^2)} = \\ &= \frac{\frac{m_2 + m_1}{n} d\frac{y}{x}}{\frac{y_2}{x_2} + \frac{m_2 - m_1}{n} \cdot \frac{y}{x} + 1} \quad \dots \dots \dots \quad (55) \end{aligned}$$

Определив кривые, удовлетворяющие этому ур-ию, Жуковский исследует также и его критические точки, понимая под последними „точки, в которых линии токов пересекаются, соприкасаются или имеют бесконечно большую кривизну“.

Рассматривает он следующие случаи:

Aº. Первый, когда $(m_2 - m_1)^2 > 4n^2$

В этом случае ур-ие интегральных кривых имеет вид:

$$\begin{aligned} \log [(m_2 - m_1)xy + n(x^2 + y^2)] &= \\ = \log C + \frac{m_2 + m_1}{\sqrt{(m_2 - m_1)^2 - 4n^2}} \log \frac{2n\left(\frac{y}{x}\right) + (m_2 - m_1) - \sqrt{(m_2 - m_1)^2 - 4n^2}}{2n\left(\frac{y}{x}\right) + (m_2 - m_1) + \sqrt{(m_2 - m_1)^2 - 4n^2}} & \end{aligned}$$

Положив

$$ny + \frac{(m_2 - m_1) - \sqrt{(m_2 - m_1)^2 - 4n^2}}{2} x = V n \cdot \lambda \cdot X$$

$$ny + \frac{(m_2 - m_1) + \sqrt{(m_2 - m_1)^2 - 4n^2}}{2} x = V n \cdot \lambda \cdot Y,$$

получим

$$XY = C \left(\frac{X}{Y} \right)^A,$$

где

$$A = \frac{m_2 + m_1}{\sqrt{(m_2 - m_1)^2 - 4n^2}}$$

Обозначая

$$1 - A = -r_2 \quad 1 + A = r_1,$$

будем иметь

$$Y = CX^{\frac{r_2}{r_1}}$$

— ур-ие, рассмотренное нами выше [стр. 15, ур-ие (33)].

Отсюда:

Iº. При $\frac{r_2}{r_1} > 0$ получаем ур-ие парабол высшего порядка, изображеных на фиг. 21 и 22.

II⁰. При $\frac{r_2}{r_1} < 0$ — ур-ие гипербол высшего порядка; расположение кривых на фиг. 23 и 24.

III⁰. При $\frac{r_2}{r_1} = 1$ — ур-ие пучка прямых — фиг. 20.

Рассматривая расположение кривых во всех этих случаях, а также сравнивая полученные результаты с работой Walther von Dyck'a.

[Walther von Dyck. „Ueber die singulären Stellen eines Systems von Differentialgleichungen erster Ordnung. München Ber. 1909],

приходим к следующим выводам:

В I-ом случае — всякая линия тока (интегральная кривая) проходит через критическую точку.

Такую точку называют *узлом*. [noeud — H. Poincaré, Knotenpunkt — W. Dyck].

Во II-ом случае — через критическую точку проходят две и только две линии тока (две интегральные кривые) — у нас: асимптоты гипербол, получающиеся из ур-ия (33) при $C = 0$.

Такую точку называют *нейтральной*, [Col — Poincaré, Doppelpunkt — W. Dyck].

В III-м — имеем критическую точку — Büschelpunkt [— W. Dyck].

B⁰ Рассмотрим теперь расположение кривых при условии, когда

$$(m_2 - m_1)^2 - 4n^2 = 0.$$

В этом случае ур-ие (55), представленное в виде

$$\begin{aligned} \frac{(m_2 - m_1)(ydx + xdy) + 2n(xdx + ydy)}{(m_2 - m_1)xy + n(x^2 + y^2)} = \\ \frac{\frac{m_2 + m_1}{n} d\frac{y}{x}}{\left(\frac{y}{x} + \frac{m_2 - m_1}{2n}\right)^2 + 1 - \frac{(m_2 - m_1)^2}{4n^2}} \dots \dots \dots (56) \end{aligned}$$

преобразуется в

$$\frac{(m_2 - m_1)(ydx + xdy) + 2n(xdx + ydy)}{(m_2 - m_1)xy + n(x^2 + y^2)} = \frac{\frac{m_2 + m_1}{n} d\frac{y}{x}}{\left(\frac{y}{x} \pm 1\right)^2}$$

Интегрируя последнее ур-ие и полагая затем $\frac{m_2 + m_1}{n} = B$,

получим

$$\log |(m_2 - m_1)xy + n(x^2 + y^2)| = \log C + B \frac{1}{\frac{y}{x} \pm 1}.$$

или

$$(m_2 - m_1) xy + n(x^2 + y^2) = Ce^{B \frac{1}{\frac{y}{x} - 1}}$$

и наконец, в полярных координатах

$$(m_2 - m_1) r^2 \sin \varphi \cos \varphi + nr^2 = Ce^{\frac{B}{\operatorname{tg} \varphi \pm 1}}$$

При $m_2 - m_1 = -2n$:

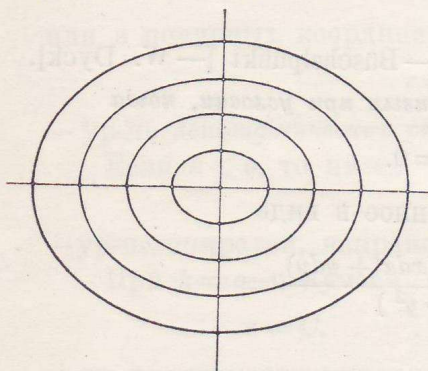
$$r^2(1 - \sin 2\varphi) = Ce^{\frac{B}{\operatorname{tg} \varphi \pm 1}}$$

и, наконец, заменяя $\varphi = \frac{\pi}{4} + u$, имеем при верхнем знаке

$$r = \frac{C}{\sin ue^{\operatorname{ctg} u - 1}},$$

где $B = 4$.

В рассматриваемом случае все интегральные кривые проходят через полюс (Фиг. 40).



Фиг. 44.

VI. Эту точку Жуковский выделяет в точку, отличную от узла. В случае узла, если взять всю систему кривых, имеем точку перегиба, а здесь — точку пресечения (остановки).

В схеме W. Dyck'a последняя точка отсутствует.

Cº. В том случае, когда

$$(m_2 - m_1)^2 - 4n^2 < 0$$

ур-ие (55) дает:

$$\log [(m_2 - m_1) xy + n(x^2 + y^2)] \\ = \log C + \frac{2(m_2 + m_1)}{n\sqrt{4n^2 - (m_2 - m_1)^2}} \operatorname{arctg} \frac{2n \frac{y}{x} + (m_2 - m_1)}{\sqrt{4n^2 - (m_2 - m_1)^2}}$$

или

$$(m_2 - m_1) xy + n(x^2 + y^2) = \\ = Ce^{n^2 \sqrt{1 - \frac{(m_2 - m_1)^2}{4n^2}}} \operatorname{arctg} \frac{\frac{y}{x} + \frac{m_2 - m_1}{2n}}{\sqrt{1 - \frac{(m_2 - m_1)^2}{4n^2}}}$$

имеем ур-ие логарифмических спиралей, которое переходит в

$$\sqrt{x^2 + y^2} = Ce^{\operatorname{arc tg} \frac{y}{x}} — \text{фиг. 35.}$$

Vº. В этом случае ни одна линия тока (интегральная кривая) не проходит через критическую точку, но асимптотически к ней

приближается, все время закручиваясь вокруг нее. Такую точку называют *фокусом* [foyer = H. Poincaré, Wirbelpunkt — W. Dyck].

D⁰. При $m_2 + m_1 = 0$
спирали переходят в *эллизы*:

$$2m_2 xy + n(x^2 + y^2) = C \text{ — фиг. 44.}$$

E⁰. При $k = 0$, логарифмические спирали переходят в *окружности* — фиг. 45.

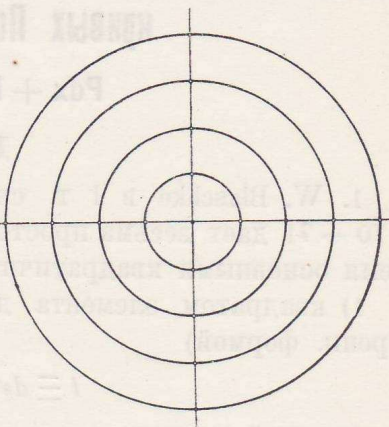
VII⁰. В случаях D⁰ и E⁰ ни одна линия тока (интегральная кривая) не проходит через критическую точку, но в отличие от предыдущего случая эта последняя будет окружена замкнутыми линиями.

Такую точку называют *центром* (centre — Poincaré, Isolierter Punkt — W. Dyck).

VII⁰. Кроме указанных критических точек, мы имеем еще одну критическую точку. Последняя получается для интегральных кривых в том случае, когда характеристическое ур-ие $\Delta(\rho) = 0$ имеет тройной корень.

Соответствующие интегральные кривые ур-ия Jacobi имеем на фиг. 19. Здесь мы имеем пучок конических сечений, имеющих соприкосовение 3-го порядка. Случай этот не указан ни Жуковским, ни W. Dyck'ом.

Такую точку можно назвать (Д. М. Синцов) — point d'osculation, Berührungs punkt.



Фиг. 45.

- 16⁰. *Литература о W-C.* Кроме указанной выше, назовем еще следующие работы.
1. *Encyclopädie der Mathem. Wissenschaften.* B. III. Heft 2/3.
 2. *S. Lie. Vorlesungen über Continuirliche Gruppen* 1893.
 3. *G. Loria. Spezielle algebra. und transcend. ebene Kurven.*
 4. *H. Wieleitner. Spezielle ebene Kurven.*
 5. *G. Fouret. Sur les courbes planes transcendantes, susceptibles de faire partie d'un système (μ, ν). Bull. de la société Math. de France.* T. II. 1873-74.
 6. *M. Jamet. Sur les surfaces et les courbes tetraedrales symetriques.* Ann. de l'école normale supér T. IV. 1887.
 7. *Д. Синцов. К вопросу об особенных элементах коннекса.* Изв. Каз. Физ.-Мат. Общ-ва 1902.
 8. *D. Sinzov. On the theory of connexes.* Труды V Mat. Конгреса в Кембридже.
 9. *G.-H. Halphen. Etude sur les points singuliers des courbes algébriques planes.* Salmon. Traité de géom. anal. 1884.